

ЛЕКЦИЯ № 11

Влияние диссипации на вынужденные колебаний.

Волны гасят ветер.

А. и Б. Стругацкие

В предыдущей лекции мы рассмотрели линейные колебания осциллятора под действием вынуждающей силы. При возбуждении системы на собственной частоте осциллятора его амплитуда бесконечно нарастает – наблюдается *линейный резонанс*. В реальных системах всегда есть затухание, которое приводит к ограничению роста амплитуды при резонансном воздействии. При наличии трения уравнение (10.10) принимает вид

$$\ddot{x} + \omega_0^2 x + 2\lambda\dot{x} = f \cos(\omega t) / m. \quad (11.1)$$

При одновременном учете внешней силы и затухания они компенсируют друг друга на частоте этой силы, и возможны стационарные колебания с этой частотой. При этом колебания на собственной частоте осциллятора затухают, и стационарное решение является одночастотным. Но из-за торможения координата осциллятора отстает от фазы вынуждающей силы. Т.е. решение остается гармоническим, но имеет вид $x = A \cos(\omega t - \alpha)$, где фаза колебания уже не произвольна, а является определенной функцией частоты: $\alpha = \alpha(\omega)$. Если представить это решение в виде

$$x = a \cos(\omega t) + b \sin(\omega t), \quad (11.2)$$

и подставить в (11.1), то получим систему уравнений, приравняв нулю коэффициенты при $\cos(\omega t)$ и $\sin(\omega t)$:

$$a(\omega_0^2 - \omega^2) + b 2\lambda\omega = f / m, \quad (11.3)$$

$$b(\omega_0^2 - \omega^2) - f 2\lambda\omega = 0. \quad (11.4)$$

Их решения имеют вид

$$a = \frac{f}{m} \frac{(\omega_0^2 - \omega^2)}{(\omega_0^2 - \omega^2)^2 + 4\lambda^2 \omega^2}, \quad b = \frac{f}{m} \frac{2\lambda\omega}{(\omega_0^2 - \omega^2)^2 + 4\lambda^2 \omega^2}, \quad (11.5)$$

или в терминах амплитуды и фазы:

$$A = \frac{f}{m} \frac{1}{\sqrt{(\omega_0^2 - \omega^2)^2 + 4\lambda^2 \omega^2}}, \quad \alpha = \arctg \frac{2\lambda\omega}{\omega_0^2 - \omega^2}. \quad (11.6)$$

Графики этих функций приведены на Рис.11.1, а эволюция резонансной зависимости с изменением параметра затухания – на Рис.11.2.

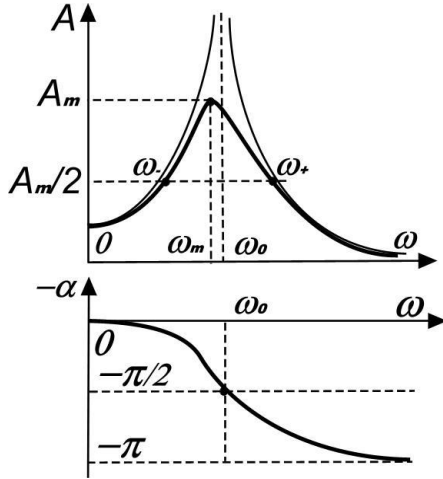


Рис.11.1

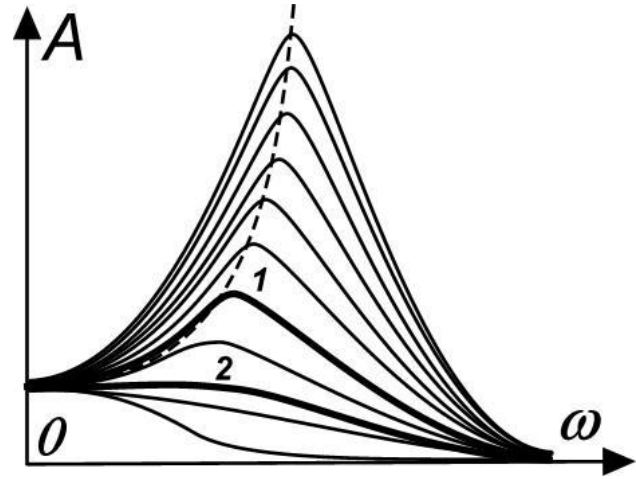


Рис.11.2

Амплитуда колебания достигает максимума при частоте $\omega_m = \sqrt{\omega_0^2 - 2\lambda^2}$. (Напомним, что при учете трения частота свободных колебаний равна $\omega^2 = \sqrt{\omega_0^2 - \lambda^2}$, см.(9.18)). В этой точке максимальная амплитуда равна

$$A_m = \frac{f}{m} \frac{1}{2\lambda\sqrt{\omega_0^2 - \lambda^2}}. \quad (11.7)$$

Во избежание недоразумения заметим, что формула (11.7) справедлива только для величин затухания $\lambda < \omega_0/\sqrt{2}$. При критическом значении $\lambda = \omega_0/\sqrt{2}$ максимум кривой $A(\omega)$ перемещается в точку $\omega = 0$. При наличии трения можно ввести понятие *полуширины* резонансного пика. В нашем случае амплитуда колебаний равна $A_m/2$ при частотах $\omega_{\pm}^2 = \omega_m^2 \pm 2\sqrt{3}\lambda\sqrt{\omega_0^2 - \lambda^2}$. Таким образом, при малом трении амплитуда резонансной кривой равна $A_m \approx f/2m\lambda\omega_0$, а ее полуширина $\Delta\omega \approx 2\sqrt{3}\lambda$. На Рис.11.2 кривая 1 соответствует значению $\lambda = \omega_0/2$, при котором $\omega_- \rightarrow 0$, а кривая 2 – значению $\lambda = \omega_0/\sqrt{2}$, при котором $\omega_m \rightarrow 0$.

В эксперименте, как правило, амплитуду колебаний в физической среде определить трудно, Поэтому в резонансных экспериментах измеряют поглощение внешнего периодического поля, воздействующего на среду. Чтобы связать это поглощение с параметрами среды, воспользуемся

формулой (9.13) для поглощения энергии $dE/dt = -2F$ с диссипативной функцией из (9.14) $F = m\lambda \dot{x}^2$, и усредним ее по периоду колебания, получим потерю энергии за период $I = \Delta E/T = m\lambda \langle \dot{x}^2 \rangle$. Учитывая, что для решения $x = A \cos(\omega t - \alpha)$ имеем $\langle \dot{x}^2 \rangle = A^2 \omega^2 / 2$, получаем для зависимости поглощения от частоты

$$I = \frac{f^2 \lambda \omega^2}{m} \frac{1}{(\omega_0^2 - \omega^2)^2 + 4\lambda^2 \omega^2}. \quad (11.8)$$

График этой зависимости приведен на Рис.11.3.

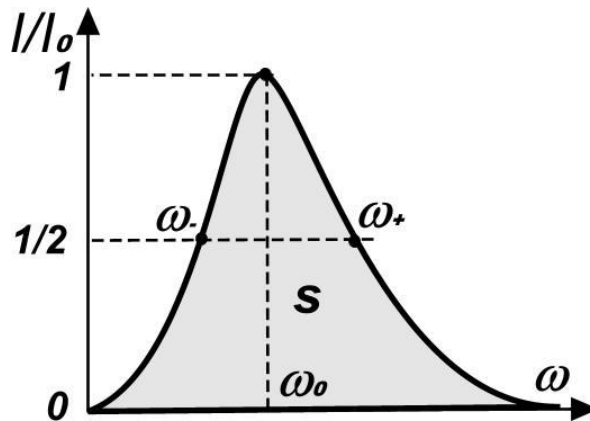


Рис.11.3

Этот график несколько отличается от резонансной кривой на Рис.11.1. Прежде всего, максимальное значение $I_{\max} = f^2 / 4\lambda m$ достигается на собственной частоте осциллятора. Поэтому, если моделировать динамику твердого тела, как динамику совокупности осцилляторов, например, как однородную прецессию всех магнитных моментов магнетика (*однородный ферромагнитный резонанс*), то из положения максимума экспериментальной кривой поглощения можно определить собственную частоту магнетика, связанную с магнитной анизотропией. Кроме того, частоты, на которых поглощение равно половине поглощения в максимуме, равны теперь $\omega_{\pm} = \sqrt{\omega_0^2 + \lambda^2} \pm \lambda$, и полуширина резонансной кривой $\Delta\omega = 2\lambda$. Поэтому определение ширины резонансной кривой дает нам удвоенную константу затухания. Ее можно вычислить и по площади под резонансной кривой. Обычно экспериментальная зависимость поглощения от частоты представляется в условных единицах, поэтому эту кривую нормируют, т.е. строят зависимость для величины $I/I_0 = I/I(\omega = \omega_0)$:

$$\frac{I}{I_0} = \frac{4\omega^2 \lambda^2}{(\omega_0^2 - \omega^2)^2 + 4\lambda^2 \omega^2}. \quad (11.9)$$

Легко вычислить площадь под резонансной кривой. При слабой диссипации с $\lambda \ll \omega_0$ эта величина легко вычисляется:

$$S = \int_{-\infty}^{+\infty} \frac{4\lambda^2 \omega^2 d\omega}{(\omega_0^2 - \omega^2)^2 + 4\lambda^2 \omega^2} \approx \int_{-\infty}^{+\infty} \frac{4\lambda^2 \omega_0^2 d\omega}{4\omega_0^2 (\omega_0 - \omega)^2 + 4\lambda^2 \omega_0^2} = \lambda^2 \int_{-\infty}^{+\infty} \frac{dz}{z^2 + \lambda^2} = \pi\lambda. \quad (11.10)$$

Точное вычисление интеграла приводит к выражению $S = \pi\lambda / \sqrt{1 - \lambda^2 / \omega_0^2}$.

Дополнение

Рассмотрим эту же задачу о влиянии затухания на явление резонанса на примере вращающегося магнитного момента. Без затухания она была рассмотрена на предыдущей лекции (см. Рис. 10.7). Линейные колебания (вращения) описываются линеаризованным уравнением (10.10), а учет затухания был обсужден в Лекции № 9 (см.(9.20)). Таким образом, в этой модели динамика описывается уравнением

$$i \frac{d\psi}{dt} = (\omega_0 - i\lambda)\psi - f e^{-i\omega t}. \quad (10.11)$$

Подставляя в него решение в виде $\psi = \psi_0 \exp(-i\omega t)$, получаем для амплитуды ψ_0 выражение

$$\psi_0 = -\frac{f}{(\omega - \omega_0) + i\lambda} = -\frac{f \exp(-i \arctg(\lambda / (\omega - \omega_0)))}{\sqrt{(\omega - \omega_0)^2 + \lambda^2}}. \quad (10.12)$$

Окончательное решение задачи выглядит таким образом: $\psi = A \exp(-i(\omega t - \alpha))$ с

$$A = \frac{f}{\sqrt{(\omega - \omega_0)^2 + \lambda^2}}, \quad \alpha = -\arctg \frac{\lambda}{\omega - \omega_0}. \quad (10.13)$$

Эти зависимости изображены на Рис.11.4.

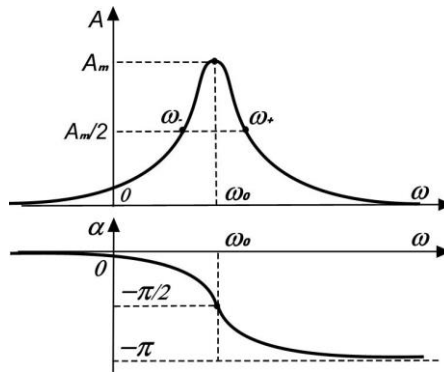


Рис.11.4

Эти зависимости проще, чем в случае рассмотренного выше осциллятора: они симметричны относительно резонансной частоты и отсутствует сдвиг максимума относительно собственной частоты ω_0 . Максимальная амплитуда равна $A_m = f / \lambda$ и полуширина резонансной линии равна $\Delta\omega = 2\sqrt{3}\lambda$ поскольку $\omega_{\pm} = \omega_0 \pm \sqrt{3}\lambda$ на Рис.11.4. На зависимости величины $A^2(\omega)$, которая определяет поглощение высокочастотного поля, полуширина, как и выше, равна 2λ . Т.е. все основные характеристики процесса резонанса с двух моделей качественно совпадают, но модель магнитного момента проще для исследования.